実測記録と数値モデルに基づくバランスド扁平アーチ橋の振動特性把握 - 下部工底面地盤の影響-

日本大学 正会員 〇仲村 成貴 八千代エンジニヤリング(株) (元日本大学学生) 塚崎 翔太 日本大学 正会員 関 文夫

1. 目的

静岡県富士宮市白糸の滝近傍に建設された滝見橋は、日本で初めての構造形式であるバランスド扁平アーチ (BFA: Balanced Flat Arch) 構造が採用された PC 人道橋である ¹⁾. そのような新しい構造形式の橋梁について、振動特性を把握し、耐震性などを検証することはたいへん重要である. そこで、振動実験や数値解析を通じて BFA 構造の振動特性を精緻に把握することを目指し、本稿では下部工底面の地盤による橋梁の振動特性への影響について検討した結果を報告する.

2. 対象橋梁の概要と振動実験結果 1),2)

滝見橋の全景を写真 1 に示す. 白糸の滝から約 80m 下流に位置する滝見橋の橋長は 39.0m, 高さは 2.55m, 有効幅員は 2.50m, 縦断勾配は 3.0%である. 滝見橋はスパンライズ比が 1/12 と扁平で, 控え斜材を有したバランスド構造であり, π ラーメン構造とアーチ構造の性格を併せ持つ人道橋である. 原位置地盤調査結果によると,周辺地盤の表層 ($GL0\sim GL-2m$) は礫混じりシルト, GL-2m 以深は N 値 50 の凝灰角礫岩で構成されている. 橋梁基礎には直接基礎が採用された.

高欄工の直後,左右岸端部の埋め戻し工および舗装工前に振動実験(起振実験,人力加振実験,常時微動 観測)を実施し,表1に示す結果が得られた.

3. 数値モデル

図1に数値モデルの構造図,表2にその概要を示す. 検討対象とした4つのモデルは,橋梁単体(上部工と



写真1 滝見橋全景

表 1 実験結果

モード次数	固有振動数(Hz)	モード形状
1	5.98	橋軸直角曲げ1次
2	7.10	鉛直曲げ1次
3	8.05	鉛直曲げ2次
4	10.6	橋軸直角曲げ2次
5	13.3	鉛直曲げ3次
6	14.0	橋軸直角曲げ3次

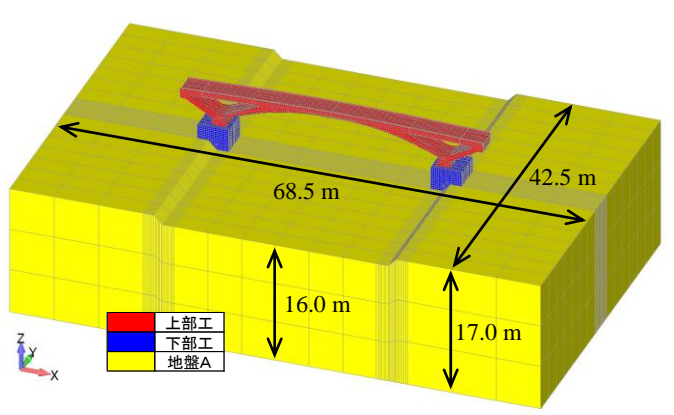


図1 数値モデル構造図

表 2 数値モデル概要

	地盤A						
モデル名称	ヤング係数	ポアソン比	質量密度	境界条件	モデル条件	要素数	節点数
	$E (N/m^2)$	v	ρ (kg/m ³)				
M odel A0	-	-	1	下部工底面を固定	橋梁単体	14472	23681
Model A1	2.000×10 ⁹	0.20	2.000×10 ³	地盤A底面と側面を固定	橋梁一地盤連成系	21792	29111
M odel A2	1.000×10 ⁹	0.20	2.000×10 ³	地盤A底面と側面を固定	橋梁一地盤連成系	21792	29111
Model A3	0.500×10 ⁹	0.20	2.000×10 ³	地盤A底面と側面を固定	橋梁一地盤連成系	21792	29111

キーワード バランスド扁平アーチ構造,固有振動数,モード形,3次元有限モデル,橋梁-地盤連成系モデル連絡先〒101-8308東京都千代田区神田駿河台1-8-14日本大学理工学部まちづくり工学科TEL.03-3259-0689

下部工)のみの Model AO, および橋梁とその周辺地 盤をモデル化した Model A1~A3 である. 3 つの橋 梁-地盤連成系モデルは地盤のヤング係数のみが 異なり、Model A1、A2、A3 の順にその値を小さく 設定した. 上部工と下部工については,表2に示す 道路橋示方書 3)の物性値を用いて各モデルとも同様 とした. 境界条件については、Model A0 では地盤を 剛体と仮定して下部工底面を固定, Model A1~A3 では地盤底面と側面を固定とした. なお, 橋梁-地 盤連成系モデルにおける地盤のモデル化範囲につ いては、別途にモデル化範囲を変動させて固有値解 析を実施し、橋梁の固有振動数が収束した範囲とし た. 解析には TDAP III⁴⁾を用いた.

4. 固有値解析結果

得られた固有振動数を実験値に対応させて図2に 示す. また,モード形を図3に示す.モード形につ いては、本稿で対象とした全モデルで図3と同様の 形状が得られた. 固有振動数については, 鉛直曲げ 1,3次ではモデルによる相違はわずかで、いずれも 実験値をほぼ再現できた. しかし, 他のモード次数 ではモデルによる相違が大きく得られた. 全体的に は Model A0 が最も高く, 次いで A1, A2, A3 へと 固有振動数が低く得られ、実験値には Model A2 が 最も近い結果となった. この結果は、対象橋梁の振 動特性には下部工底面の地盤の影響が無視できな いことを示している. なお, 振動実験からも同様の 傾向が得られている2).

5. まとめ

新しい構造形式の滝見橋を対象として、振動実験 結果を再現できる3次元有限要素モデルの作成を目 指し,下部工底面の地盤について検討した.実測記 録を再現するためには,下部工底面の地盤の影響を 無視できない結果が得られた. 今後は、実験時には 埋め戻されていた下部工周辺や斜材背面の地盤と 対象橋梁の振動特性との関連を検討する予定であ る.

参考文献

- 1) 関文夫ほか:世界文化遺産の構成資産白糸の滝 に架けられた滝見橋のデザイン,景観・デザイン研究講演集,pp.117-122, No.9, 2013.
- 2) 仲村成貴,山崎佳樹,関文夫:実測記録に基づくバランスド扁平アーチ構造の振動特性推定,土木学会第 70 回年次学術講演会,pp.691-692,2015.
- 3) 社団法人日本道路協会:道路橋示方書·同解説 I 共通編·V 耐震設計編, 2012.
- 4) 株式会社アーク情報システム: TDAP III バッチ版使用手引書 Ver3.04, 2012.

表 2 橋梁上部工と下部工の物性値

材料	ヤング率 (N/m ²)	ポアソン比	質量密度 (kg/m³)
上部工	2.980×10^{10}	0.15	2.498×10^3
下部工	2.500×10^{10}	0.15	2.498×10^3

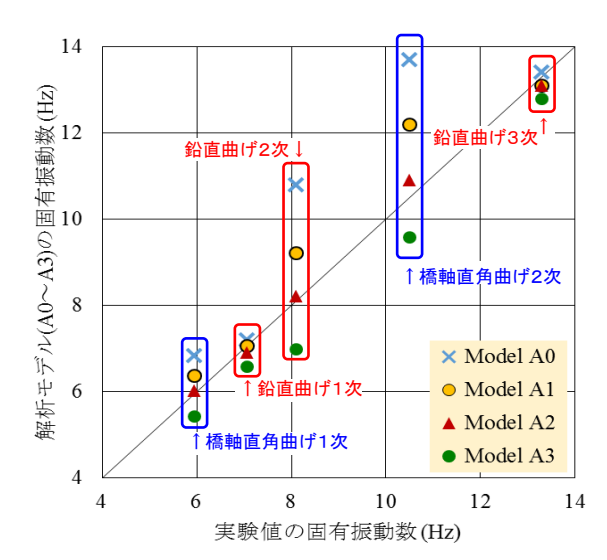


図2 解析値と実験値の比較

